

한국부식학회지
Journal of the Corrosion Science Society of Korea
Vol. 8, No. 1, March 1979

<產學協同>

Ca(NO₃)₂ 水溶液循環系에서의 冷凍機銅管腐蝕과 防蝕對策

李亨基·奇文奉·申鎮淳·朴充根

韓一合成纖維工業株式會社

초록

42% Ca(NO₃)₂ 水溶液의 循環系中에서 發生한 DCuTi-H 的 腐蝕은 Brine 의 不適正 pH, 異物質의 混入 및 水流速度 등등이 單獨 또는 複合的인 作用에 因由하였음을 實驗 및 研究를 通하여 確認하고, 防蝕 方法으로서 Brine 的 製造法改善, 適正 pH 的 決定, 異物質의 分離除去 및 設計 流速維持 등 諸方法中 異物質의 分離除去法—化學的 處理法—이 가장 効果的이었고 Brine 的 循環適正 pH 가 가장 큰 影響을 미치는 要素임을 알았다.

1. 序論

HNO₃ 을 溶劑로 使用하는 카시미론 製造工程에서는 溶剤의 特殊性에 따라 溶剤와 同質 Ion 을 갖는 Ca(NO₃)₂ 水溶液을 Brine 으로 使用하고 있으며, 이 Ca(NO₃)₂ 水溶液에 依한 冷凍機의 銅管腐蝕에 對하여 現場 中心으로 그 原因을 究明하고, 腐蝕을 防止하기 為한 研究 및 實驗의 結果를 整理하여 報告한다.

2. 冷凍機의 構造와 Brine 的 循環系統

冷凍機는 그림 1.2와 같이 壓縮機, 濃縮器, Economizer, 蒸發器, 抽氣回收裝置 및 主電動機로 이루어져 있으며 冷媒는 壓縮機에서 壓縮되어 濃縮器에 들어가 管內를 흐르는 冷却水에 依해 液化된다.

이 液化된 冷媒는 Economizer 를 거쳐 蒸發器에 들어가서 管內를 흐르는 Brine 에 依해 증발되어 다시 壓縮機로 들어가는 循環系를 形成하고, 反面에 Brine 은 冷却되어 重合의 未反應 Monomer回收, 原液製造 및 濕式紡系 工程을 循環, 加熱되어 다시 冷凍機로 돌아오는 循環系를 形成하고 있다.

3. 銅管과 Brine 的 物性

3-1. 銅管

電氣銅을 燻으로 脫酸處理하여 冷間引拔法 혹은 850°C로 加熱한 것을 水壓 押出機에 依해서 押出 製造한 Seamless 脫酸管으로 그 物性은 表 1과 같다.

3-2. Brine [Ca(NO₃)₂ 水溶液]

HNO₃에 CaCO₃을 溶解하여 製造한 Ca(NO₃)₂ 水溶

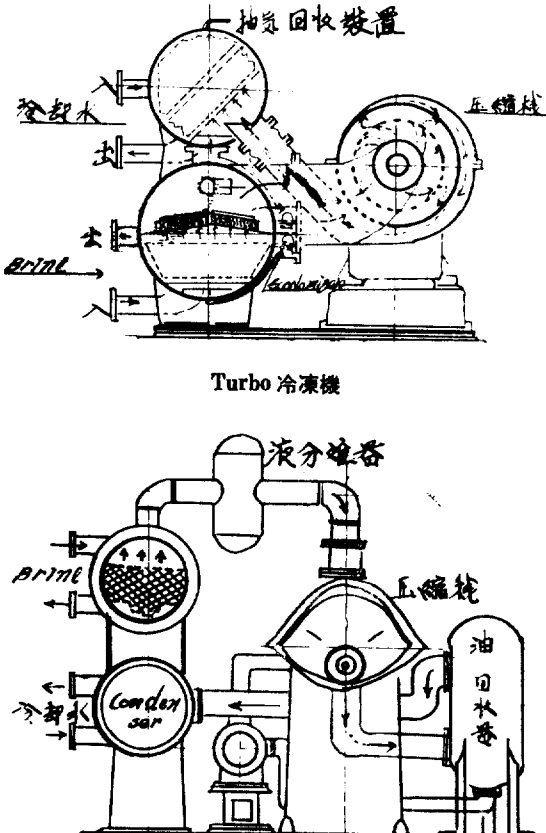
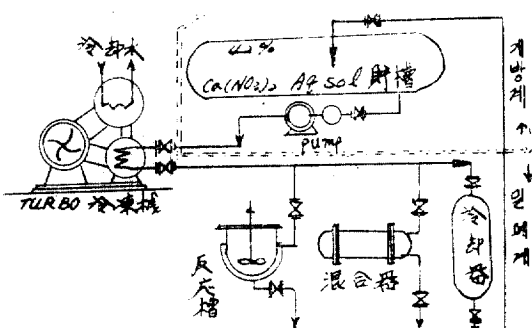


그림 1. 冷凍機 構造



(材 質)

區 分	Tarbo 機	SRM 機
冷 媒 側	SS-41	SS-41
	DCuT ₁ -H	DCuT ₁ -H
	AP	
Brine 側	SS-41	SS-41
	DCuT ₁ -H	DCuT ₁ -H
	Zn	Zn

그림 2. Brine 循環系統

表-1 銅管의 物性¹⁾

種 類	等 級	記 號	化 學 成 分 (%)	
			Cu	P
脫酸銅	普通級	DCuT ₁ -H	99.9以上	0.004~0.040

液으로서 그 物性은 表 2 및 3과 같다.

4. 腐蝕發生狀況

鑄鐵 및 SS-41로 되어있는 水室內面은 그 두께가 35mm로 徑 5~15φmm, 깊이 2~5mm程度의 局部腐

蝕을 받았고 銅管은 浸蝕에 依하여 거의 全面에 걸쳐 金屬銅의 光澤을 띠고 있었으며 浸蝕을 받지 않은 部分은 褐色의 酸化銅 皮膜이 아니면 白色皮膜으로 덮혀 있었다.

그리고 無色투명해야 할 Brine은 젖은 綠青色相으로 變하였으며 腐蝕이 심한 部位일수록 流電陽極인 Zn板의 腐蝕量이 적고, 表面에 粘着性의沈降性 白澤質로 덮혀 있었다.

腐蝕部位의 狀況을 더 자세히 把握하기 為하여 腐蝕管을 切開하여 顯微鏡(사진 1, 2, 3)에 依해 관찰한 결과, 孔蝕이 일어난 부근에는 皮膜이剝離되어 있었고 그 部分은 流體의 強한 흐름의 흔적을 나타내는 浸蝕(Erosion)으로 確認되었으며 浸蝕이 管軸에 어떤 기울기로 發生한 것을 여실히 볼 수 있다.

또한 腐蝕位置別 發生을 살펴보면 表-4와 같다. 表에서 보면 管길이中 “A”部分(入出口側)에 腐蝕發生이 가장 많고 管斷面에서의 腐蝕發生은 “나”(180°方向) “라”(360°方向) 方向으로 주로 일어나고, 蒸發器斷面에서의 銅管腐蝕은 “5” “6”部分(入口側)에서 主로 發生하였다.

5. 腐蝕因子와 腐蝕原因 考察

5-1. 腐蝕機構

腐蝕理論中 가장 널리 알려진 것은 電氣化學的 Model²⁾이다. 即 金屬腐蝕이 發生하려면 部位間의 電位差가 생겨 電流가 흘러야 하는것으로, 이 電位差의 發生要因은 組成差, 結晶狀態, 酸化皮膜의 不連續, 應力, 더끼, 酸素濃度等이다.

그림 3에서 보는 바와 같이 腐蝕이 發生할 때에는 陽極部分에서 金屬이 녹고(酸化) 陰極部分에서 水素가 스가 發生하는 等 여러 反應(還元)이 일어난다. 이러한 腐蝕因子를 大別하면 溶存酸素, 流速, pH, 異種

表-2 Brine의 規格

pH (25°C)	Ca(NO ₃) ₂	鹽 化 物 (Cl ⁻)	黃 酸 鹽 (SO ₄ ²⁻)	암 모 니 움 (NH ₄ ⁺)	重 金 屬
9.5±0.5	42±1%	0.0025↓	0.005↓	0.0025↓	0.005↓

(註) 日本旭化成規格

表-3 Brine의 物性

濃 度	比 重	比 熱	熱傳導度	粘 度	凍 結 點
42±1%	1.42(at 0°C)	0.66kcal/kg°C (at 20°C)	0.432kcal/mHr°C	8.1Centipoise	-28.2°C

(注) 日本旭化成規格

表-4. 腐蝕 發生率

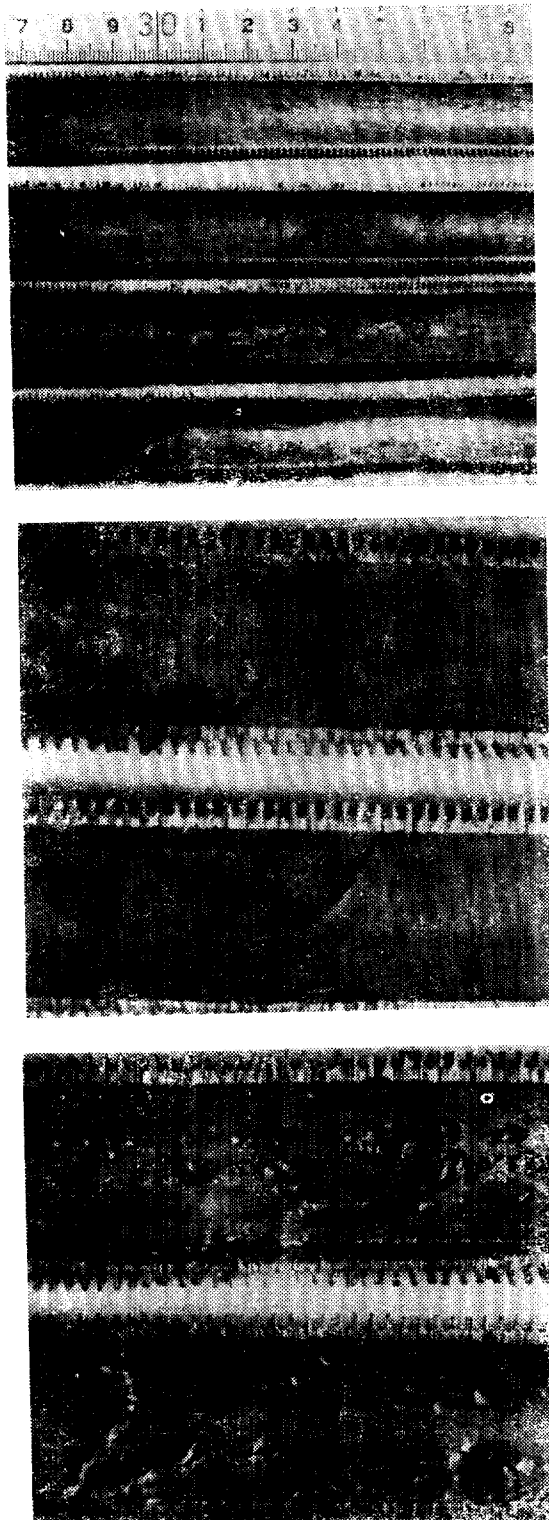


사진 1, 2, 3

구 분	부식 발생도	%
부식발생 부위 (판 길이)	A + B + C 1091 + 1091 + 1091 3074	A 52.9 B 35.3 C 11.8
부식발생 방향 (판 단면)	↑ ↑ ↑ 4 가 다 라	↑ 6.7 4 33.3 4 26.7 4 33.3
부식발생 위치 (증발기 단면)	1 2 3 4 5 6	1 6.3 2 0 3 12.6 4 18.7 5 31.2 6 31.2

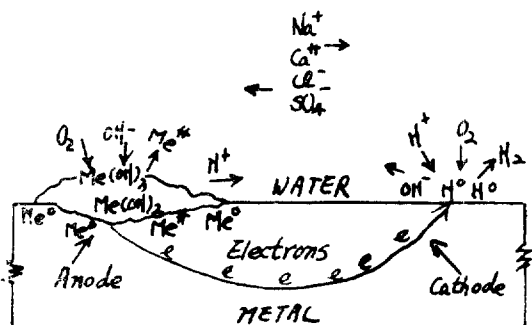


그림 3. 腐蝕發生機構

金屬接觸, 溫度의 影響이다. 따라서 銅의 電極電位(E)는 水素極基準³⁾으로 다음式 $E = 0.337 + 0.0295 \log [\text{Cu}^{2+}]$ (V)으로 表示되며 約±0.35V로 水素보다도 貴하므로 銅은 보통 條件下에서 酸水溶液中에서 水素와 換位되지 않기 때문에 水素復極에 依한 腐蝕은 일어나지 않지만 陰極의 酸化復極이 일어나면 電氣化學的으로 腐蝕이 일어나게 된다. 即酸 또는 Alkali水溶液中에 酸化劑를 含有하고 있으면 銅은 腐蝕이 일어나게 된다. 그러나 弱Alkali(pH=7~12)水溶液中에서는 銅材中에 異種 金屬이 不純物로써 存在하지 않는 限銅表面이

表-5 Brine 分析值

項目 區 分	pH (25°C)	純 度 (%)	鐵 (ppm)	SO ₄ ⁻² (ppm)	Cl ⁻ (ppm)	Cu (ppm)	M-al. (ppm)	分析日字
腐 蝕 發 生 前	9.6	41	7.5	8	63.7	trace	465	74. 3. 8
〃 後	10.0	42.9	31.5	trace	74.7	375	1268	75. 7. 9

酸化皮膜으로 不動態化하여 우수한 耐蝕性을 갖는다.

5-2. Brine 的 重要 化學的 性質

5-2-1. 腐蝕 發生前後의 Brine 分析值

上記表에서 腐蝕發生前에는 Cu 含量이 거의 없고 M-al.는 465ppm 이었으며 腐蝕發生後에는 Cu 含量이 375 ppm, M-al. 가 1268ppm 이었다.

5-2-2. 溫度 變化에 따른 pH 變化

1級 試藥인 HNO₃, CaCO₃로 製造한 pH 8.5의 42% Brine, 工業用 HNO₃, CaCO₃로 製造한 pH 8.0 및 7.5의 42% Brine 과 工程循環中인 pH 9.6의 42% Brine 의 (各試料 共히 25°C 基準) 각各 溫度變化에 따른 pH 變化는 그림 4^a와 같다.

그림에서 4種類 試料 共히 溫度가 降下함에 따라 거의 비슷한 기울기를 갖고, pH가 크게增加함을 나타내고 있으며 工程循環中인 Brine 은 循環溫度인 -10°C에서 pH 9.5를 維持하기 為해서는 室溫 25°C에서는 pH 8.25로 調整되어야 함을 알 수 있다. 따라서 每日 Brine 製造 및 工程循環 Brine 의 pH調整時 -10°C에서의 pH 9.5인것을 室溫인 25°C에서 pH 9.5로 조정하였을 경우 과잉의 Ca(OH)₂注入을 招來하여 이로

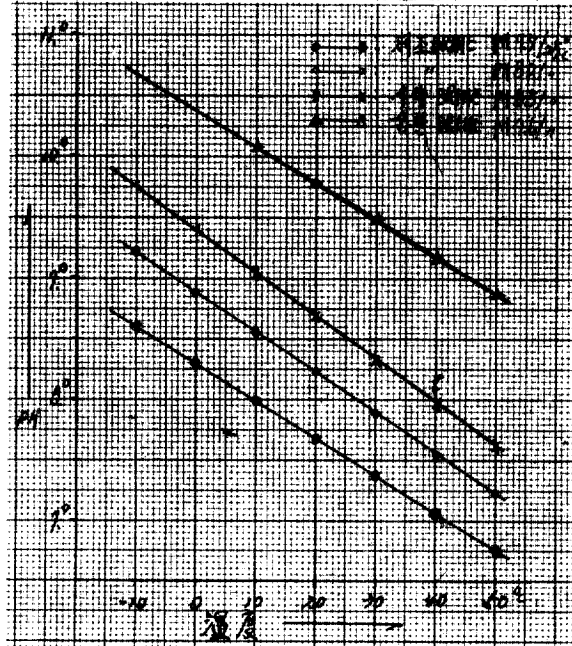


그림 4. 溫度 變化에 따른 pH 變化

因하여 遊離沈降性 Ca(OH)₂ 粒子가 存在하게 됨으로써 腐蝕과 浸蝕의 原因으로 作用하게 된다.

5-3. 異物質 混入에 依한 影響

前述한 遊離沈降性 Ca(OH)₂ 粒子 以外에 循環系의 热交換器와 配管의 新設 및 改補修時 完全 除去되지 않고 殘存하는 各種沈降性不純物은 不純物의沈降速度가 Brine 流速보다 큰경우 即, 流速이 느릴곳에 堆積함으로써 急激한 涡流를 發生, 흐름方向으로의 浸蝕 및 電氣化學的腐蝕을 일으킨다.

5-4. 水流速度에 依한 影響

循環工程의 热交換能 增大를 為하여 設計值인 2m/sec 보다 큰 流速 2.2m/sec程度를 허용으로써 水室 및 管內에 심한 涡流를 發生시켰고, 이로 因하여 發生된 涡流泡가 管入口와 管壁面에 계속적으로 衝突, 管保護皮膜을 破壞하고, 露出된 表面은 끊임없이 충격을 받아 浸蝕이 進行된다.

異物質이 混入되었을 경우, 이 現象은 더욱 加重되어 이러한 衝激腐蝕은 主로 入口 주변에 많이 일어난다.

5-5. 流電陽極의 影響

銅管의 電氣化學的腐蝕防止를 為하여 設置한 流電陽極(Zn板)과 水室 뚜껑과의 接觸이 不完全하여充分한 陽極電流가 流르지 못하기 때문에, 設計대로의 防蝕效果를 얻을 수 없으며, 오히려 流電陽極 表面에 水酸化物이 生成, 脱落이 일어난 후 異物質로 作用, 腐蝕

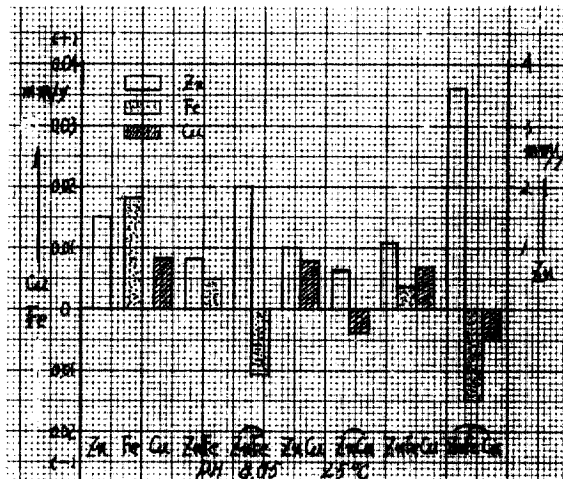


그림 5. 流電陽極 效果比較

을促進하는役割을하게된다⁴⁾.

이現象을 살펴보기爲하여 Cu, Fe, Zn의各試片을流電陽極을形成시킨것과시키지않은것을各各Brine에22日間沈澱시켜腐蝕實驗을行하였으며試片處理方法에있어서銅片은18%HCl으로常溫에서3分間洗淨하였으며鐵片은20%NaOH溶液에200g/l의亞鉛粉沫을넣어沸騰시켜5分間沈澱洗淨하고亞鉛片은100g/l의NaOH溶液에15分間浸漬後가볍게문질러洗淨한結果는그림5와같다.그림에서보면流電陽極(Zn板)을形成시켰을때流電陽極効果가있으며異物質의形成은Cu보다Fe가많았다.

6. 腐蝕防止對策

6-1. Brine 清淨化

5-3에서言及한各種異物質,溶出된Cu Ion이開放系인Brine Tank에서空氣와接觸하여Brine中에溶存하게되는酸素와反應하므로써,계속腐蝕을促進하고있으므로이異物質과Cu Ion(主成分[Cu₂(OH)₃NO₃])을除去하기爲하여行한實驗及方法은다음과같다.

6-1-1. 自然沈降法

Brine을一定容器에靜置하여清淨화하는方法으로靜置時間變化에따르는清淨效果及沈降前後의Brine

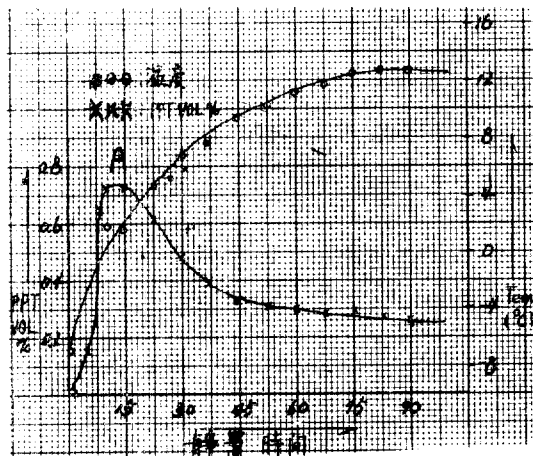


그림 6. 循環 Brine 靜置實驗結果

表-6 自然沈降前後分析值

1979. 3. 23.

項目 區分	pH (25°C)	純度 (%)	比重 (d_{4}^{25})	Cu (ppm)	Cu除去率 (%)	靜置時間 (Hr)
沈降前	8.75	43.0	1.399	151	40.0	90
沈降後	8.7	42.6	1.396	90		

分析値는그림6^a와表-6와같다.

그림6에서靜置시간에따른Brine의溫度變化는靜置後80時間前에는急上昇하나그후에는거의一定하고沈澱物Volume%는點“A”까지는自然重力沈降이일어나며,“A”點 이후는壓縮沈降이일어나을수있다.

表-6에서와같이自然沈降時Cu含量이151ppm이었던것이90ppm으로除去되는efficacy를얻었다.

그러나그림6에서보는바와같이靜置된Brine의溫度가晝夜間의大氣溫度差에依해變化함으로써密度流가發生,沈降효율이低下하고,또한Brine이清淨화一異物質의濃度低下一層에따라Brine中의異物質除去효율이낮아졌다.

6-1-2. 連續沈降法

그림7^b와같이淨水工法의傾斜板式急速沈降理論을導入直四角形槽에PVC傾斜板을設置하고,여기에循環系의-10°CBrine을빼내어이를室溫으로加熱한다음,連續的으로通液沈降處理하였다.

Brine中의Cu含有量은143.9ppm으로부터0.5ppm까지減少시킬수있었으며沈降處理前後のBrine分析値는表-7와같다.

6-1-3. 濾過法

3~10μ크기의孔을갖인poly-propylene濾過布로서

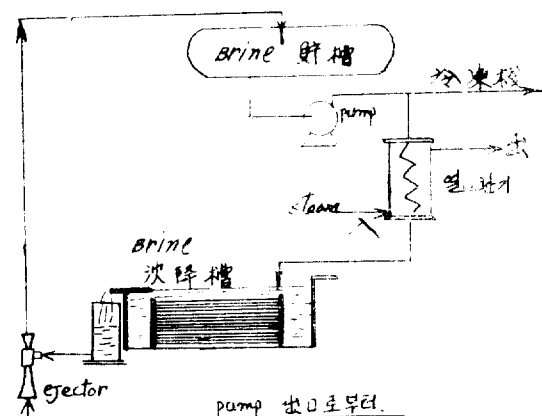


그림 7. 連續沈降工程圖

表-7. 連續沈降前後 分析值

1976. 7. 26

項目 區分	pH (25°C)	純度 (%)	比重 (d_{4}^{25})	M-al. (ppm)	Cu (ppm)	Cu除去率 (%)
沈降前	8.75	41.3	—	580.5	143.9	
沈降後	8.75	41.3	—	505.0	70.5	

壓力濾過를 實施한 결과 Cu 除去量 及 異物質 除去量 은 다음과 같았다.

表-8 濾過能力結果

1977. 4. 9

項目 區分	Cu (ppm)	Cu除去 率(%)	濾過量 (m ³ /D)	sludge 除去量 (g/m ³)	備 考
濾過前	99.2	1.85	3.9	259.5	sludge 中 Cu 分數 包含되어 있음.
濾過後	97.4				

6-1-4. 化學的 處理法

Brine が 清淨되어 갈에 따라 Cu 除去率이 점차 減少하고 Brine 中 Cu 含量이 100ppm 程度에 이르러서는 減少하지 않는 現象을 나타내므로 6-1-2, 6-1-3의 方法을 계속 行하면서 本化學的處理方法 一例로 들면 HNO₃로 Brine 의 pH 를 4.9 ± 0.1 로 調整, 靜置한 다음 Ca(OH)₂로 pH 를 다시 8.7 ± 0.2 로 調整, 靜置하여 上澄液을 分離하는 方法을 實驗에서 얻는 結果는 表-9 및 그림-8²⁾와 같으며 引下后 pH 約 4.5에서 Cu 殘留量이 크게 減少하였다.

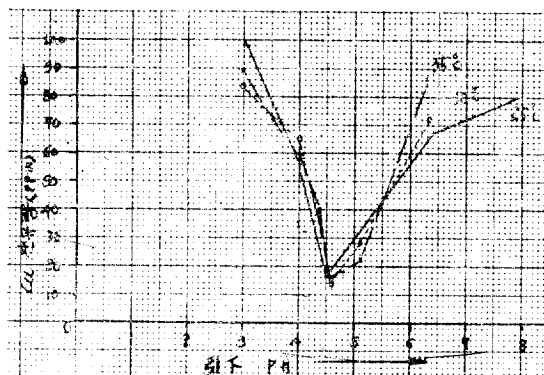


그림 8. 引下 pH 에 따른 Cu 殘留量

上記 實驗 結果를 現場 適用한 結果는 表-10와 같으며 Cu 殘留量은 50ppm에서 11ppm 으로 M-al. 는 200 ppm에서 100ppm 으로 減少되었다.

上法 6-1-1~4方法 外에도 여러가지 實驗을 通하여 Brine 的 清淨化를 模索하였으나 實効를 거두지 못하고 6-1-2, 3, 4의 方法을 並用 施行한 結果, 그림 9 과 같이

表-9 引下 pH 及 溫度에 따른 Cu 殘留量(實驗室)

原 pH	Brine 의 pH		Cu 含量(ppm)		
	引下 pH (HNO ₃)	引上后 pH(Ca (OH) ₂)	25°C	30°C	35°C
8.5	8.30	8.5	84.4	—	—
	6.40		67.2	77.1	86.2
	5.10		30.7	27.5	21.4
	4.50		13.6	14.5	16.1
	4.30		41.4	43.5	48.6
	4.00		50.8	63.0	57.8
	3.10		89.2	—	—
	3.05		96.8	96.4	87.3

(註) 試料 Brine Cu: 114.21ppm

pH 가 安定되었고, Cu 含量도 大幅의으로 減少되었다.

6-2. Brine 製造 方法 改善

Brine 製造時에 있어서 pH 調節劑인 Ca(OH)₂의 過量 注入으로 因한 遊離沈降性 Ca(OH)₂가 Brine 中에 存在하지 않도록 하기 위하여 各種 原料의 濃度 및 注入順序에 對한 諸 實驗을 通해 다음 그림-10에서 보는 바와 같이 pH 을 8.75(at 25°C)로 調整하는데 Ca(OH)₂의 注入量이 改善前에는 183g/100L-Brine 이었으나 改善後에는 103g/100L-Brine 으로 되어 80g/100L-Brine 이

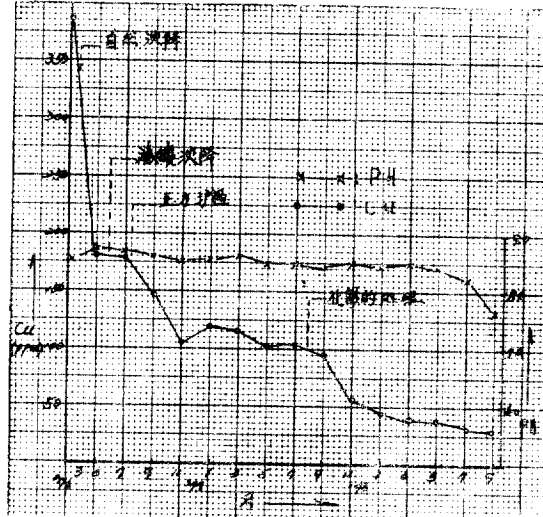
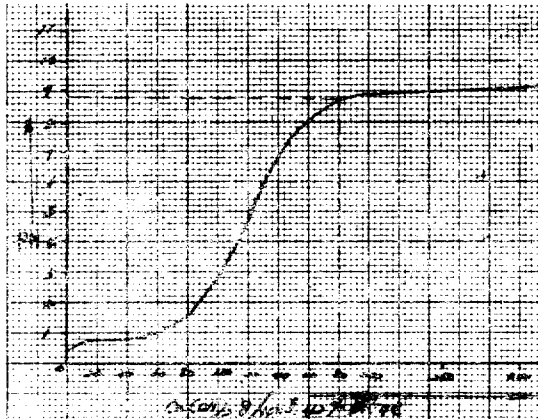


그림 9. Cu 및 pH 의 經年 變化

表-10 化學的處理前後分析值(現場)

1978. 5. 5

項目 區 分	pH (24°C)	純 度 (%)	比 重 (d ₄ ²⁵)	Fe (ppm)	Cu (ppm)	M-al (ppm)	Cu除去率 (%)
處 理 前	8.2	38.98	1.395	33.69	50.72	206.80	78.8
處 理 後	8.8	38.98	1.395	0.72	10.75	101.88	

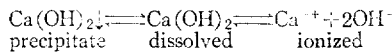
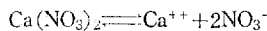
그림 10. $\text{Ca}(\text{OH})_2$ 注入量에 따른 pH變化

減少되었다.

6-3. Brine 最適 pH

腐蝕의 原因에서 考察한 바와같이 Brine 中에 不溶解性 $\text{Ca}(\text{OH})_2$ 의 有在를 推定하고 Brine 中에 $\text{Ca}(\text{OH})_2$ 이온積과 H_2O 解離定數를 計算하여 沈降性遊離 $\text{Ca}(\text{OH})_2$ 가 存在하지 않는 것을 說明하면 다음과 같다⁶⁾.

1) 反應式



precipitate dissolved ionized

2) $\text{Ca}(\text{OH})_2$ 注入實驗

Results	$b \leq b_c$	$b > b_c$
H^+	$K/2b$	$K/\sqrt{\frac{c}{s}}$
pH	$\log b + \log \frac{2}{K}$	$\frac{1}{2} \log \frac{s}{K^2 c}$
$[\text{Ca}(\text{OH})_2 \downarrow]$	0	$b - b_c$
b_c	$\frac{1}{2} \sqrt{\frac{s}{c}}$	

c : Total Solid in Mole/l of $\text{Ca}(\text{NO}_3)_2$.

b : " /l of $\text{Ca}(\text{OH})_2$.

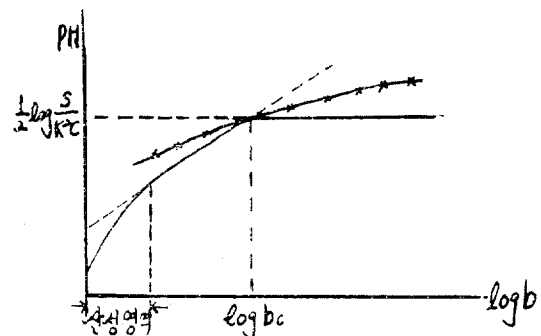
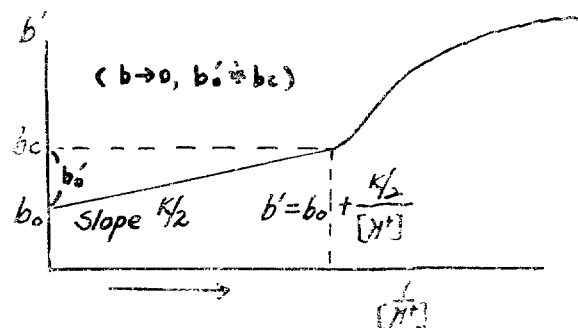
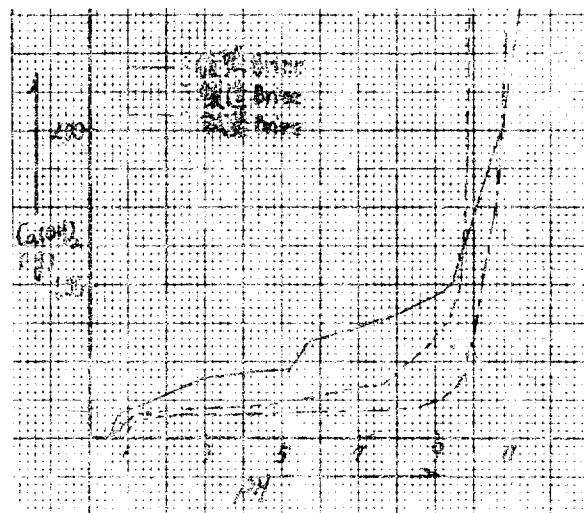
b_c : Critical b.

K : Dissociation Constant of Water.

s : Solubility Product Constant of $\text{Ca}(\text{OH})_2$.

따라서 Brine 中에 $\text{Ca}(\text{OH})_2$ 를 添加할 때添加된 $\text{Ca}(\text{OH})_2$ 量과 pH 사이의 關係를 圖示하면 그림 11-a 와 같으며 $b \leq b_c$ 인 경우 $[\text{H}^+] = \frac{K}{2b}$ 에서 $b' = b_0 + \frac{K/2}{[\text{H}^+]}$ 가 된다.

(b' : $\text{Ca}(\text{OH})_2$ 添加量
 b_0 : 最初 Brine 中 $\text{Ca}(\text{OH})_2$ 量)

그림 11-a. $\text{Ca}(\text{OH})_2$ 注入量과 pH 와의 關係그림 11-b. $\text{Ca}(\text{OH})_2$ 注入量과 $\frac{1}{[\text{H}^+]}$ 와의 關係그림 11-c. $\text{Ca}(\text{OH})_2$ 注入量과 pH 와의 關係

그러므로 b' 와 $\frac{1}{[\text{H}^+]}$ 的 關係를 圖示하면 그림 11-b 와 같으며 이를 바탕으로 $\text{Ca}(\text{OH})_2$ 添加量과 pH 와의 關係를 實驗한 結查는 그림 11-c 와 같고 이 그림으로부터 單位 $(\log \frac{1}{[\text{H}^+]} \rightarrow \frac{1}{[\text{H}^+]})$ 變換을 實施, K 值을 求하였으며 添加前後 $\text{Ca}(\text{OH})_2$ 量의 差를 Mol 濃度로

表-11 Brine 別 最適

區 分 項 目	循環 Brine	製造 Brine	試藥 Brine
pH 범위 (-5°C)	5.5~8.65	1.75~7.50	2.00~8.90
K (-5°C)	2.98×10^{-12}	4.89×10^{-11}	1.33×10^{-12}
s (-5°C)	2.55×10^{-5}	1.36×10^{-5}	4.02×10^{-6}
$\frac{1}{2} \log \frac{s}{K^2 c}$ (-5°C)	8.95	7.60	8.9

表-12 Cu 와 Al-Brass 腐蝕速度比交

1978. 1. 31

回 數	材 料 區 分	무 계 減 量 (g)	腐 蝕 速 度 (m. d. d)	腐蝕速度對比 (Cu/Al-Brass)	實 驗 期 間 (日)
1 次	Cu	0.222	27.9	139.5/1	20
	Al-Brass	0.0020	0.20		
2 次	Cu	0.2121	9.820	49.1/1	30
	Al-Brass	0.0057	0.20		
3 次	Cu	1.8017	16.087	1340/1	285
	Al-Brass	0.0017	0.012		

換算하여 b_0' 로 놓으면 다음 式에서 s 값이 計算된다.

$$b_0' = b_c - b_0 = \frac{1}{2} \sqrt{\frac{s}{c}}$$

또한 임계점에서 pH 값은 $\frac{1}{2} \log \frac{s}{K^2 c}$ 이므로 K 및 s 값을 각각 대입, pH를 計算한結果는 表 11과 같다.

그러므로 現在 使用中인 循環 Brine 은 -5°C에서 pH=8.95 即 25°C에서는 pH=7.90程度로 된다.

6-4. 管材質

Al-Brass의 海水에 依한 耐蝕性이 DCuT₁-H의 그것보다 큰것에 의거, Cu分이 溶解되어 있는 循環系 Brine (-1°C~ -3°C)에 Al-Brass 와 DCuT₁-H管을 浸漬, 腐蝕速度를 測定하였던 바 그 結果는 表 12와 같다. 表 12ⁱⁱ로 부터 Brine에 있어서도 海水와 같이 Al-Brass가 DCuT₁-H보다 耐蝕度가 훨씬 큼이 確認되었으며 따라서 冷凍機 1台分의 銅管을 Al-Brass管으로 代置하여長期間 使用에 따른 防蝕效果를 實驗中이다.

6-5. 設計 水流速度 維持

銅管內에서의 最大 流速을 2m/sec 以下로 維持되도록 하고, 入口辨은 全開한 狀態에서 出口辨으로 流量을 調整하여 水室이나 管內에서 涡流가 發生하지 않도록 하였다.

6-6. 流電陽極 管理 撤底

流電陽極의 取付 方法은 그림 12와 같으며 點檢期間은 每 6個月마다 實施토록하고 使用期間中에 Zn板 밑의 고무 packing 틈이나 充填物 틈으로 Brine液이 浸潤

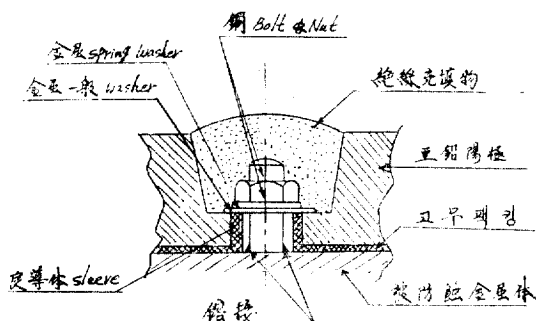


그림 12. 流電陽極 取付方法

하여 亞鉛陽極과 鐵陰極間에 電流回路의 短絡現象이 發生치 않도록하며 水室의 仕切板과 水室 胴間의 接合點은 paint 칠을 하거나 packing을 끼워서는 않되며 金屬光澤이 나도록 研磨하므로써 完全 接觸도록 하여 電流作用効率이 最大가 되도록 한다. 또한 胴 Flange에 Cover Flange를 닫을 때 Bolt와 Nut 및 Flange의 Bolt孔에 良導電性的 黑鉛 Paste外에는 아무것도 칠하여서는 안된다.

7. 結論

銅管의 腐蝕防止를 研究 現場 適用 結果를 綜合하면 다음과 같다.

- Brine의 pH는 實際 使用 溫度인 -5°C~-10°

C에서 8.8~9.1이어야하며 25°C에서는 7.7~8.0로 되어야 한다.

2) (1)에 의하여 Brine 中에 과잉으로 添加하던 pH 조정제인 $\text{Ca}(\text{OH})_2$ 量을 約 4.0g/l-Brine 줄일수 있게 되었다.

3) 流電陽極 表面에 生成되는 沈降性 水酸化物을 週期의으로 除去함으로써 流電陽極의 表面積을 계속 維持하여 防蝕效果를 增進하게 되었다.

4) 循環系統의 热交換器, 配管 및 其他 施設裝置의 新設, 補修時에 철거한 청소로 異物質의 混込을 防止하여 異物質의 堆積 및 충돌에 依한 潰蝕을 減少시켰다.

5) 清淨화作業(6-1-2, 3, 4)에 依해 Brine 中에 浮遊하고 있는 沈降性物質, 工事찌꺼기나 配管, 機器에 묻어 있던 雜異物과 遊離 $\text{Ca}(\text{OH})_2$ 및 初期와 後續腐蝕에 依해 發生한 金屬錯體 例를 들면 $\text{Cu}_2(\text{OH})_3\text{NO}_3$ 等을 除去하고, 入口辨을 全開한 狀態에서 出口辨으로 流量을 調節하여 湍流發生을 될수있는 限 最少化하였다.

그러나 아직도 Brine 中에 約 30ppm의 Cu 分이 存在하고 있고 드물지만 銅管入口部位에 浸蝕現象이 보이고 있으므로 今後 계속하여 Cu 分의 完全除去와 腐蝕抑制劑 및 銅과 鐵의 $\text{Ca}(\text{NO}_3)_2\text{-H}_2\text{O}$ 系의 pH와 溫度變化에 따른 腐蝕에 對한 研究가 要望되고 있다.

그간 本研究에 많은 關心을 갖고 指導하여 주신 KIST 化學工程 研究室 尹昌求 博士를 비롯하여 研究室

動力部, 工務部 여러분들에게 깊은 감사를 드린다.

Reference

- 1) 配管 Hand Book(產業圖書株式會社版) p. 9)
- 2) 韓國 腐蝕學會誌 4卷 3號 p. 83
- 3) 金屬防蝕技術便覽(日刊工業新聞社) p. 319
- 4) 流體工學 Vol. 11, No. 9. p. 549
- 5) 尹昌求, Private Communication 1977. 1. 25
 - a) 製造及循環 Brine 物性比較實驗(한일합성연구보고 RB-1) 1975. 7. 5
 - b) 循環 Brine 中 Zn 板의 流電陽極效果(“ RB-3) 1975. 12. 23
 - c) X-Ray diffraction에 의한 分析(KIST) 1977. 3. 9
 - d) Brine 的 自然靜置條件實驗(한일합성연구보고 WB-4) 1976. 3. 23
 - e) Brine 의 連續沈降裝置 1976. 7. 26
 - f) Brine 中 Cu 除去에 關한 實驗(한일합성연구보고 RB-7) 1977. 3. 28
 - g) Brine 製法改善實驗(“ RB-4) 1976. 1. 22
 - h) Brine 最適 pH 實驗(“ RB-12) 1977. 5. 6
 - i) 循環 Brine 中 Al-Brass 와 Copper 의 腐蝕速度比較實驗(한일합성연구보고 RB-13) 1978. 1. 31.